

XFOR : une structure itérative pour le contrôle explicite de la distance de réutilisation des données

*Imen Fassi^{a,b}, Philippe Clauss^b, Alain Ketterlin^b,
Alexandra Jimboorean^c, Yosr Slama^a*

^a Dpt Informatique, Faculté des sciences, Université El Manar, Tunisie

^b CAMUS, INRIA, Université de Strasbourg, France

^c Dpt of Information Technology, Uppsala University, Suède

Exemple

- ▶ Code Seidel (Polybenchs) :

```
for ( i=1 ; i<=n-2 ; i++)
  for ( j=1 ; j<=n-2 ; j++)
    A[ i ][ j ] = (A[ i -1 ][ j -1]+A[ i -1 ][ j ]+A[ i -1 ][ j +1]
                    +A[ i ][ j -1]+A[ i ][ j ]+A[ i ][ j +1]
                    +A[ i +1 ][ j -1]+A[ i +1 ][ j ]
                    +A[ i +1 ][ j +1])/9.0;
```

- ▶ chaque élément accédé 9 fois
- ▶ 4 éléments lus déjà mis à jour (ordre lexico)

Exemple

- ▶ Minimisation des distances de réutilisation :
 - ▶ découpage en 5 instructions : additions de 4 éléments non encore mis à jour + addition des autres éléments

```
xfor ( i0=1,i1=1,i2=1,i3=1,i4=1 ;
       i0<=n-2,i1<=n-2,i2<=n-2,i3<=n-2,i4<=n-2 ;
       i0++,i1++,i2++,i3++,i4++ ;
       1,1,1,1,1 ; /* grains */
       0,1,1,1,1 ) /* offsets */ {
xfor ( j0=1,j1=1,j2=1,j3=1,j4=1 ;
       j0<=n-2,j1<=n-2,j2<=n-2,j3<=n-2,j4<=n-2 ;
       j0++,j1++,j2++,j3++,j4++ ;
       1,1,1,1,1 ; /* grains */
       2,0,1,2,2 ) /* offsets */ {
0: A[i0][j0] += A[i0][j0+1] ;
1: A[i1][j1] += A[i1+1][j1-1] ;
2: A[i2][j2] += A[i2+1][j2] ;
3: A[i3][j3] += A[i3+1][j3+1] ;
4: A[i4][j4] = (A[i4][j4]+A[i4-1][j4-1]
               +A[i4-1][j4]+A[i4-1][j4+1]
               +A[i4][j4-1])/9.0 ; } }
```

Exemple

- ▶ Minimisation des distances de réutilisation :
 - ▶ découpage en 5 instructions : additions de 4 éléments non encore mis à jour + addition des autres éléments

```
xfor ( i0=1,i1=1,i2=1,i3=1,i4=1 ;
i0<=n-2,i1<=n-2,i2<=n-2,i3<=n-2,i4<=n-2 ;
i0++,i1++,i2++,i3++,i4++ ;
1,1,1,1,1 ; /* grains */
0,1,1,1,1 ) /* offsets */ {
xfor (j0=1,j1=1,j2=1,j3=1,j4=1 ;
j0<=n-2,j1<=n-2,j2<=n-2,j3<=n-2,j4<=n-2 ;
j0++,j1++,j2++,j3++,j4++ ;
1,1,1,1,1 ; /* grains */
2,0,1,2,2 ) /* offsets */ {
    0: A[i][j-2]    += A[i][j-1] ; /* translation de 0 sur axe i , 2 sur axe j */
    1: A[i-1][j]    += A[i][j-1] ; /* translation de 1 sur axe i , 0 sur axe j */
    2: A[i-1][j-1]  += A[i][j-1] ; /* translation de 1 sur axe i , 1 sur axe j */
    3: A[i-1][j-2]  += A[i][j-1] ; /* translation de 1 sur axe i , 2 sur axe j */
    4: A[i-1][j-2] = (A[i-1][j-2]+A[i-2][j-3] /* dependance => idem precedent */
                      +A[i-2][j-2]+A[i-2][j-1] /* ordre lexico des offsets */
                      +A[i-1][j-3])/9.0 ; } }
```

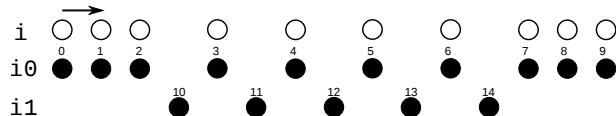
Syntaxe et sémantique

```
xfor ( index = expr, [index = expr, ...] ;  
       index relop expr, [index relop expr, ...] ;  
       index+ = incr, [index+ = incr, ...] ;  
       grain, [grain, ...] ;  
       offset, [offset, ...] )      {  
   label : {statements}  
   [label : {statements}...] }
```

Exemples : une boucle xfor

offset

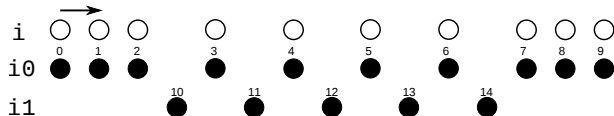
xfor ($i_1 = 0, i_2 = 10; i_1 < 10, i_2 < 15; i_1++, i_2++; 1, 1; 0, 2$)



Exemples : une boucle xfor

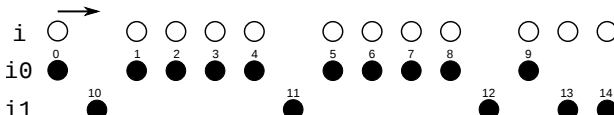
offset

xfor ($i_1 = 0, i_2 = 10; i_1 < 10, i_2 < 15; i_1 ++, i_2 ++; 1, 1; 0, 2$)



grain + compression

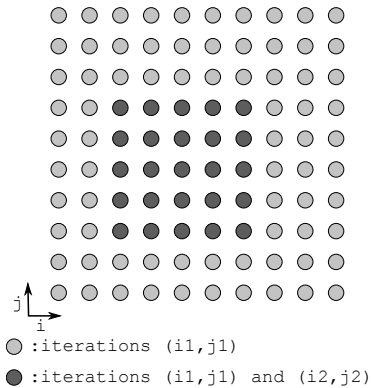
xfor ($i_1 = 0, i_2 = 10; i_1 < 10, i_2 < 15; i_1 ++, i_2 ++; 1, 4; 0, 0$)



Exemples: nids de boucles xfor

offset

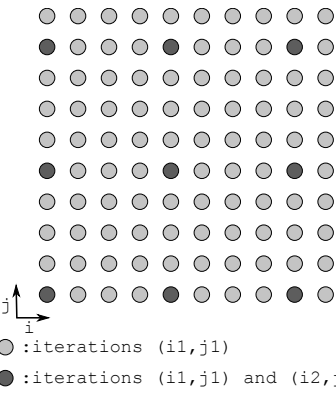
xfor ($i_1 = 0, i_2 = 0; i_1 < 10, i_2 < 5; i_1 ++, i_2 ++; 1, 1; 0, 2$)
xfor ($j_1 = 0, j_2 = 0; j_1 < 10, j_2 < 5; j_1 ++, j_2 ++; 1, 1; 0, 2$)



Exemples: nids de boucles xfor

grain

```
xfor (i1 = 0, i2 = 0; i1 < 10, i2 < 3; i1++, i2++; 1, 4; 0, 0)
xfor (j1 = 0, j2 = 0; j1 < 10, j2 < 3; j1++, j2++; 1, 4; 0, 0)
```

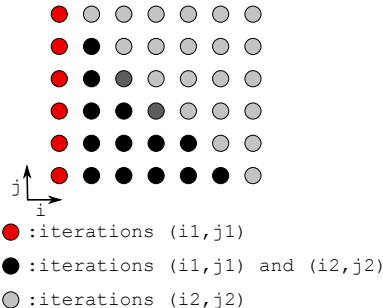


Exemples: nids de boucles xfor

affine bound + offset

xfor ($i_1 = 0, i_2 = 0; i_1 < 6, i_2 < 6; i_1++, i_2++; 1, 1; 0, \textcolor{orange}{1}$)

xfor ($j_1 = 0, j_2 = 0; j_1 < \textcolor{orange}{6 - i_1}, j_2 < 6; j_1++, j_2++; 1, 1; 0, 0$)



Compilateur XFOR : IBB (Iterate-But-Better)

- ▶ Génération d'une traduction en boucles «for» sémantiquement équivalente
 - ▶ domaines d'itération ramenés à un domaine d'indices commun
 - ▶ translations et dilatations selon les offsets et les grains
 - ▶ génération du code de parcours de l'union des domaines (CLooG)
 - ▶ code «inhumain» mais efficace
 - ▶ possibilité de directives OpenMP sur boucles xfor
- ▶ Démo sur l'exemple

Localité des données : exemple

- ▶ Code Seidel-xfor *unrolled-and-jammed* :

```
xfor ( i0=1,i1=1,i2=1,i3=1,i4=1 ;
       i0<=n-2,i1<=n-2,i2<=n-2,i3<=n-2,i4<=n-2 ;
       i0+=2,i1+=2,i2+=2,i3+=2,i4+=2 ;
       1,1,1,1,1 ; /* grains */
       ?,?,?,?,? ) /* offsets */ {
xfor (j0=1,j1=1,j2=1,j3=1,j4=1 ;
       j0<=n-2,j1<=n-2,j2<=n-2,j3<=n-2,j4<=n-2 ;
       j0++,j1++,j2++,j3++,j4++ ;
       1,1,1,1,1 ; /* grains */
       ?,?,?,?,? ) /* offsets */ {
 0: { A[i0][j0] += A[i0][j0+1] ;
      A[i0+1][j0] += A[i0+1][j0+1] ; }
 1: { A[i1][j1] += A[i1+1][j1-1] ;
      A[i1+1][j1] += A[i1+2][j1-1] ; }
 2: { A[i2][j2] += A[i2+1][j2] ;
      A[i2+1][j2] += A[i2+2][j2] ; }
 3: { A[i3][j3] += A[i3+1][j3+1] ;
      A[i3+1][j3] += A[i3+2][j3+1] ; }
 4: { A[i4][j4] = (A[i4][j4]+A[i4-1][j4-1]
                  +A[i4-1][j4]+A[i4-1][j4+1]
                  +A[i4][j4-1])/9.0 ;
      A[i4+1][j4] = (A[i4+1][j4]+A[i4][j4-1]
                  +A[i4][j4]+A[i4][j4+1]
                  +A[i4+1][j4-1])/9.0 ; } })
```

Localité des données : exemple

- ▶ 2 versions à différents offsets :

- ▶ V_1 : (0,0,0,0,1) sur i & (0,0,0,0,0) sur j
- ▶ V_2 : (0,0,0,0,0) sur i & (1,0,2,0,1) sur j

```
***** V1 *****/  
0: { A[i][j] += A[i][j+1] ;  
     A[i+1][j] += A[i+1][j+1] ; }  
1: { A[i][j] += A[i+1][j-1] ;  
     A[i+1][j] += A[i+2][j-1] ; }  
2: { A[i][j] += A[i+1][j] ;  
     A[i+1][j] += A[i+2][j] ; }  
3: { A[i][j] += A[i+1][j+1] ;  
     A[i+1][j] += A[i+2][j+1] ; }  
4: { A[i-1][j] = (A[i-1][j]+A[i-2][j-1]  
                  +A[i-2][j]+A[i-2][j+1]  
                  +A[i-1][j-1])/9.0 ;  
    A[i][j] = (A[i][j]+A[i-1][j-1]  
                +A[i-1][j]+A[i-1][j+1]  
                +A[i][j-1])/9.0 ; }
```

```
***** V2 *****/  
0: { A[i][j-1] += A[i][j] ;  
     A[i+1][j-1] += A[i+1][j] ; }  
1: { A[i][j] += A[i+1][j-1] ;  
     A[i+1][j] += A[i+2][j-1] ; }  
2: { A[i][j-2] += A[i+1][j-2] ;  
     A[i+1][j-2] += A[i+2][j-2] ; }  
3: { A[i][j] += A[i+1][j+1] ;  
     A[i+1][j] += A[i+2][j+1] ; }  
4: { A[i][j-1] = (A[i][j-1]+A[i-1][j-2]  
                  +A[i-1][j-1]+A[i-1][j]  
                  +A[i][j-2])/9.0 ;  
    A[i+1][j-1] = (A[i+1][j-1]+A[i][j-2]  
                  +A[i][j-1]+A[i][j]  
                  +A[i+1][j-2])/9.0 ; }
```

- ▶ Quelle version est la plus rapide ?

Localité des données : exemple

- ▶ Exécutions sur un processeur Ivybridge Intel Core i5-3470 (3.20GHz) :

	V_1	V_2
exec. time (sec.)	1.29	3.20
cons. energy (joules)	21.17	47.41
L1 misses	120,190,581	80,150,636
L2 misses	40,090,106	40,086,200
stalled cycles	3,732,635,854	10,285,801,229

- ▶ Nombres de défauts de cache semblables
- ▶ Rapport de 2.5 en temps !
- ▶ différence significative en cycles inactifs... pourquoi ?

Localité des données : exemple

- ▶ Outil de profiling Intel VTune sur V_2 :

vaddsd %xmm2, %xmm3, %xmm1		vaddsd %xmm1, %xmm0, %xmm1	121
lea (%r8,%rdx,1), %r11		vaddsd %xmm1, %xmm3, %xmm3	148
add \$0x1, %ecx	47	vaddsd %xmm6, %xmm4, %xmm1	913
vaddsd %xmm12, %xmm3, %xmm3		vdivsd %xmm9, %xmm3, %xmm3	155
add \$0x8, %rdx		vaddsd %xmm3, %xmm0, %xmm0	49
vaddsd %xmm4, %xmm5, %xmm5	41	vmovsdq %xmm3, -0x10(%rdx)	5
vmovsdq %xmm1, -0x10(%rax)		vmovsdq %xmm0, -0x8(%rax)	76
vmovsdq %xmm3, -0x18(%rdx)		vmovsdq (%rdx), %xmm4	43
vmovsdq (%rax), %xmm0	57	vmovsdq %xmm1, -0x8(%rdx)	4
vaddsd %xmm10, %xmm0, %xmm2		vaddsd %xmm4, %xmm0, %xmm0	913
vmovsdq %xmm2, -0x8(%rax)		vmovsdq %xmm0, -0x8(%rax)	148
vaddsd %xmm13, %xmm2, %xmm2	43	vmovsdq 0x8(%r11,%r9,1), %xmm10	121
vmovsdq %xmm5, -0x10(%rdx)		vaddsd %xmm10, %xmm1, %xmm5	155
vmovsdq (%r11,%rsi,1), %xmm8		vmovsdq %xmm5, -0x8(%rdx)	913
lea (%rdi,%rax,1), %r11			148
add \$0x8, %rax	35		49
vaddsd %xmm7, %xmm2, %xmm2	91		5
vaddsd %xmm8, %xmm2, %xmm2	142		76
vaddsd %xmm2, %xmm1, %xmm2	126		43
vaddsd %xmm5, %xmm1, %xmm1	889		4
vdivsd %xmm9, %xmm2, %xmm2			913
vaddsd %xmm1, %xmm2, %xmm1			148
vmovsdq %xmm2, -0x10(%rax)	120		121

- ▶ Latences élevées
- ▶ Aléas de pipeline
- ▶ Contention sur les unités de calcul en v.f.

Localité des données : exemple

- ▶ Analyse du code source :

	accessed rows	succ. writes & reads
V_1	$i-1$	5 reads + 1 write
	i	3 reads + 5 writes
	$i+1$	4 reads + 4 writes
V_2	i	6 reads + 5 writes
	$i+1$	6 reads + 5 writes

Localité des données : conclusions

- ▶ La localité des données « n'est pas tout »
- ▶ Une « trop bonne » localité des données peut-être très pénalisante
- ▶ Les techniques d'optimisation de code, les compilateurs académiques (Pluto) et industriels (GCC) ne considèrent pas les aléas de pipeline !
- ▶ La structure XFOR permet d'ajuster la localité pour minimiser (encore plus) les latences des instructions (hors défauts de cache)
 - ▶ petites variations des valeurs des offsets, compilation itérative sur petite taille des données

Localité des données : conclusions

- ▶ Autre conséquence « étonnante » sur la consommation en puissance :
 - ▶ $V_1 : \frac{21.17 \text{ joules}}{1.29 \text{ sec.}} = 16,35 \text{ Watts} ; V_2 : \frac{47.41 \text{ joules}}{3.20 \text{ sec.}} = 14,81 \text{ Watts}$
 - ▶ ~10% de consommation en puissance de moins pour V_2 !

Quelques benchmarks

Code	Pb size	Offset	Orig. time + Energy cons.	XFOR time + Energy cons.	Speed -up + Energy saving
2mm	1024	0,0 0,nj 0,0	14.592 237.204	3.498 57.379	4.17 75.81%
3mm	1024	0,ni,2*ni 0,0,0 0,0,0	21.875 354.900	4.692 76.382	4.66 78.48%
jacobi-2d	16K	0,1 0,1	72.990 503.272	22.937 167.256	3.18 66.77%
fdtd-2d	10K	0,0,0,0 0,0,0,0	0.921 15.535	0.503 8.679	1.83 44.13%
fdtd-apml	256	0,0,0,0 0,0,1,1 0,Cxm,0,Cxm	0.439 6.614	0.242 3.877	1.81 41.38%
correlation	700	0,1,m+1,n+m+2 0,0,0,0 0,0,0,0	1.442 22.846	0.195 3.294	7.39 85.58%
covariance	700	0,m,n+m 0,0,0 0,0,0	1.440 22.892	0.198 3.395	7.27 85.17%
mvt	10K	0,0 0,0	1.570 24.743	0.222 3.625	7.07 85.35%
gemver	10K	0,N,N,2N 0,0,N,0	1.857 28.849	0.490 8.070	3.79 72.03%
seidel	4K	0,0,0,0,1 0,0,0,0,0	3.425 50.164	1.297 21.320	2.64 57.50%

Vectorisation

- ▶ La minimisation des distances de réutilisation est un frein à la vectorisation automatique des compilateurs
⇒ Accroissement « suffisant » des offsets selon la taille des vecteurs et l'alignement

```
/* Jacobi 2D when no vector unit */          /* Jacobi 2D when vector unit */  
xfor (i0 = 1, i1 = 1 ; i0 < N-1, i1 < N-1 ;      xfor (i0 = 1, i1 = 1 ; i0 < N-1, i1 < N-1 ;  
    i0++,i1++ ; 1,1 ; 0,1)                      i0++,i1++ ; 1,1 ; 0,1)  
xfor (j0 = 1, j1 = 1; j0 < N-1, j1 < N-1 ;      xfor (j0 = 1, j1 = 1; j0 < N-1, j1 < N-1 ;  
    j0++,j1++ ; 1,1 ; 0,1) {                      j0++,j1++ ; 1,1 ; 0,6) {  
0: B[i0][j0] = 0.2 * (A[i0][j0]+A[i0][j0-1] 0: B[i0][j0] = 0.2 * (A[i0][j0]+A[i0][j0-1]  
    +A[i0][1+j0]+A[1+i0][j0]+A[i0-1][j0]);  +A[i0][1+j0]+A[1+i0][j0]+A[i0-1][j0]);  
1: A[i1][j1] = B[i1][j1]; }                     1: A[i1][j1] = B[i1][j1]; }
```

Parallélisation de boucles

- ▶ La minimisation des distances de réutilisation est un frein à la parallélisation OpenMP des boucles les plus externes
 - ▶ Accroissement des offsets permettant de définir des tranches d'itérations parallèles + boucle englobante sur les tranches
 - ▶ Gain double : localité + parallélisme

```
#define k NUMBER_OF_THREADS /* Red-Black Gauss-Seidel */
for( i=1 ; i < (N-1)/2*k ; i+=2*k)
#pragma omp parallel for private(i0,i1,i2,i3,j0,j1,j2,j3) firstprivate(i) shared(u)
xfor (i0=i, i1=i+1, i2=i, i3=i+1 ;
      i0 < min(i+2*k,N-1), i1 < min(i+1+2*k,N-1),
      i2 < min(i+2*k,N-1), i3 < min(i+1+2*k,N-1) ;
      i0+=2, i1+=2, i2+=2, i3+=2 ;
      2,2,2,2 ; i-1,i,i+2*k,2+i+2*k)
xfor (j0=1, j1=2, j2=1, j3=2 ;
      j0 < N-1, j1 < N-1, j2 < N-1, j3 < N-1 ;
      j0+=2, j1+=2, j2+=2, j3+=2 ;
      2,2,2,2 ; 0,1,0,1) {
    0: u[i0][j0] = f(u[i0][j0+1], u[i0][j0-1],
                      u[i0-1][j0], u[i0+1][j0]);
    1: u[i1][j1] = f(u[i1][j1+1], u[i1][j1-1],
                      u[i1-1][j1], u[i1+1][j1]);
    2: u[i2][j2] = f(u[i2][j2+1], u[i2][j2-1],
                      u[i2-1][j2], u[i2+1][j2]);
    3: u[i3][j3] = f(u[i3][j3+1], u[i3][j3-1],
                      u[i3-1][j3], u[i3+1][j3]); }
```

Quelques benchmarks OpenMP

Code	Pb size	Offset	Orig. time	XFOR time	Speed-up
Red-Black	30K	0,1,1,2 0,1,0,1	1.44	0.874	1.65
2mm	1024	0,128,0,128 0,0,0,0 0,0,0,0	1.595	0.243	6.62
3mm	1024	0,ni,ni+128,0,ni,ni+128 0,0,0,0,0,0 0,0,0,0,0,0	2.41	0.45	5.35
jacobi-2d	16K	0,1 0,6	0.621	0.409	1.51
jacobi-1d	200M	0,8	0.49	0.315	1.55
fdtd-2d	10K	0,0,0,0 0,0,0,6	0.41	0.244	1.68
fdtd-apml	256	0,0,0,0 0,0,1,1 0,Cxm,0,Cxm	0.11	0.072	1.53
reg-detect	256 x 700	0,0,0,0,0,0 0,0,0,0,0,0 0..0,lgh-1	0.072	0.034	2.12
correlation	700	0,0,n,n,n,2*n,2*n, 2*n+1,2*n+1,3*n+1 0,0,0,0,0,0,0,0,0 0,0,0,0,0,0,0,0,0	0.31	0.07	4.43
covariance	700	0,0,n,n,n+1,n+1,2*n+1 0,0,0,0,0,0,0,0,0 0,0,0,0,0,0,0,0,0	0.307	0.067	4.58
gemver	10K	0,0,0,N-1 0,0,0,0	0.298	0.193	1.54

Conclusion

- ▶ XFOR : introduction de paramètres d'ordonnancement des instructions
 - ▶ Contrôle des distances de réutilisation et de la localité des données
- ▶ Relève du concept de « computer-assisted programming » (programmation du 21e siècle)
- ▶ Transformations moins générales que dans le modèle polyédrique, mais souvent suffisantes et plus efficaces
 - ▶ Comment rendre d'autres transformations accessibles (skewing) ?
- ▶ Exhibe des phénomènes précédemment peu visibles : cycles inactifs, latences des instructions, consommation en puissance
- ▶ Optimisation dans l'ère du « post-cache miss »
- ▶ Ordonneur XFOR : génération automatique de XFORs

MERCI



Université de Strasbourg
INRIA Nancy Grand-Est
<http://team.inria.fr/camus>